

2.-5 海川口橋（トラスドランガー桁橋）の死荷重、活荷重、および、振動に対する実験と考察

徳島大学工学部 正員 工博 星 治雄
徳島大学工学部 正員 工修 梶嶋 弘行
阿南工業高等専門学校 正員 工修 ○神田 雄

1. はじめに

最近わが国でも新らしい構架型式として、トラスドランガーハンギング橋が架設せられたようになつた。今回、報告する海川口橋は、斜材に円形断面のパイプを用いていたために、風によるカルマン渦の発生が懸念せられ、それを防止する目的で斜材の両端部を円環で補強し、両端の支持条件を変更した。それに伴ない設計条件と現橋との間に構造上生じた差異の程度、斜材の補強の効果、死荷重による応力、活荷重に対する応力、撓み、振動数、振動モード、および、減衰率などを理論値と実験値とにより調査検討を加えた。

2. 構造概要

型式：トラスドランガーハンギング橋、
橋格：2等道路橋、
橋長(支間)：110.17m(109.17m)、
主構間隔：6.7m、有効巾員：5.5m、

3. 測定項目

死荷重応力の測定、静止荷重による撓み測定、
移動荷重による撓み測定、衝撃荷重による撓み
測定、静止荷重による応力測定、移動荷重によ
る応力測定、および衝撃荷重による応力測定な
どである。さらに、応力および撓みより振動周
期、振動モード、ならびに材数減衰率などを測
定した。

4. 計算方法

斜材の両端を円環で補強したこと考慮して、
主構に対する計算値は図-3のようなく2種類の
構架型式について求めた。主構の静止荷重に対
する解析は変形法により電子計算機TOSBAC
3400を用いて行ない、振動に対しては、三義
重工所のプログラムによる計算結果を用いた。
床組に対する検討として、微小変位しない横
桁によって連続支持された場合などを試算した。

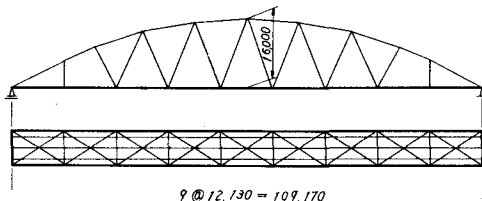


図-1 一般図

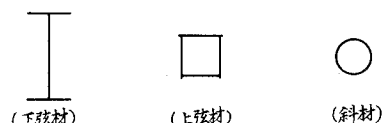
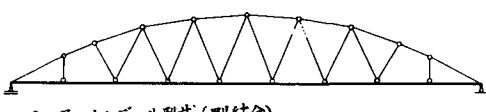


図-2 主構部材断面形

1 トラスドランガーハンギング型式(ヒンジ結合)



2 フィレンディール型式(剛結合)

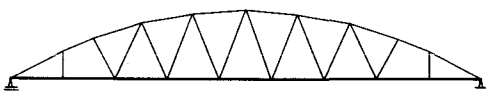


図-3

(注) 本文では以後、図-3における構架型式①
②に対して、小さき、ヒンジ結合、剛結合
と略称することにする。

5. 測定結果、および、考察。

1) 撥み。 静止荷重に対する撥み比のヒストグラムは、図-4、図-5のようにあり、平均値はいずれの場合も約49%、標準偏差は約ノ7%強である。撗みの振動周期については、つきのようである。

トラック走行時、および、走行後の振動周期は、1測点については余り差異は認められなかつたが他の測点と比較すれば相違がある。また走行速度別に見れば、1測点毎についててもかなりバランスがある。動的撗みは走行速度25km/hのときが最も大きく、動的撗み係数の平均値は表-1のようになつて、撗みの場合と同様に25km/hのときが最も大きかつた。

他の実験トラス橋についても、20~30km/hのときに動的撗みが大きくなり、それより速度が増すと逆に撗みは小さくなる傾向が実測せられてゐるが、今回のトラスドランガーハンガーについても同様の事が認められた。ここでいう動的撗み係数（動的撗み係数の場合にも同じ様な意義をする）とは、示方書の衝撃係数とは多少違ひ図-6に示した様なものである。固有振動周期の測定には起振機を使用すべきであろうが、今回はスパン中央で高さ18cmの板の上から、荷重車の後輪（または前輪）を落し下せしめたときの振動周期を固有振動周期とした。橋梁全体の質量に較べて車輪の質量は少ないのでかなり正確に測定値が得られたと思われる。それによると、KY-1型撗み計からは平均0.566sec、NDO式船用変位計からは平均0.572secとなり、ヒンジ結合と仮定した場合の一次固有振動数0.536sec、剛結合と仮定した場合の0.534secよりも少し大きいが、大体似た値である。材数減衰率としては、振中の一方の側の山を測定し、式-(2)によつて求めた。

$$\frac{\log \alpha_0 - \log \alpha_n}{n} = \delta \text{ (材数減衰率)} \quad (2)$$

それによれば、 δ は大体0.16~0.26の範囲である。
2) 死荷重応力 死荷重応力の測定はコンタクトゲージを用いた。死荷重応力のヒストグラムとして、剛結合、または、ヒンジ結合とした計算値をそれと/or%とした応力比で示せば、図-7、および図-8のようにある。必ずかで(左)とが、剛結合と仮定した場合の方が、応力比较大である。

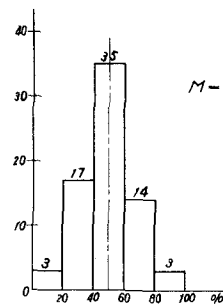


図-4 撥み比ヒストグラム
(ヒンジ結合)

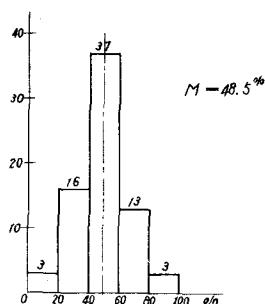


図-5 撥み比ヒストグラム
(剛結合)

速度	5%	10%	15%	20%	25%	30%
平均係数	0.102	0.113	0.080	0.084	0.132	0.105

表-1 動的撗み係数

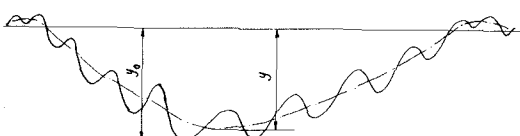


図-6 撗み(δ)時間曲線
動的撗み(δ)係数 動的最大撗み(δm) / 静的最大撗み(δs)
静的最大撗み(δs) ----- (1)

図-6 撗み(δ)時間曲線

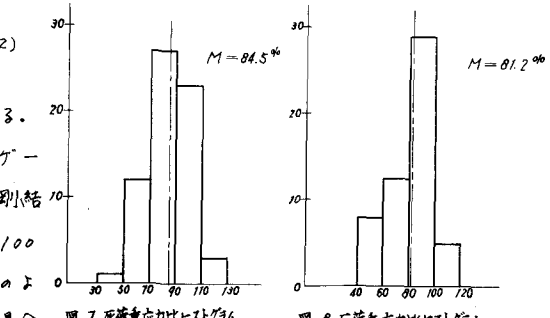


図-7 死荷重応力比ヒストグラム
(剛結合)

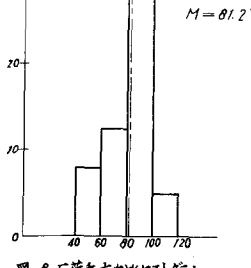


図-8 死荷重応力比ヒストグラム
(ヒンジ結合)

ハ) 活荷重応力。静止荷重に対する主構の応力比を示せば、図-9、および、図-10のようである。これによれば100%を越したものの多くあるが、それらはいずれも計算応力が非常に小さな部分である。また、みす部材にとて、影響線の縦距の小さな部分に載荷された場合の応力比と影響線の縦距の大きな部分に載荷された場合のそれを比較すれば、前者の方が過大な値を与えることが多いことが認められる。上流側(または下流側)

へ偏心して載荷した場合に、反対側の主構の応力比が載荷側の応力比より大きくなる。

台を並列して載荷した場合は前二者の中間の値を示す。これらのことから、横方向の荷重配分が慣用計算によるものよりも良いというと共に、縦方向にも荷重配分されていことがあることが認められた。部材別の応力比の平均値を較べれば、上弦材、腹材、補剛桁の順に応力比は小さくなっている。以上の傾向は、普通のトラス橋には特に顕著にあらわれる。また、トラスドランガーハン橋について床組を主構に協力させた解析例¹⁾によれば、若干の仮定のもとに理論解析せられており、水平荷重配合作用が支間中央付近では15%もあり、補剛桁の軸力の減少が認められる。動的歪み係数の測定値は非常にバラツキがあった。歪み係数は示方書の衝撃係数のように部材別に議論すべきものであるが、試みに速度別に歪み係数を平均すれば、表-2のようになり、わずかずつであるが速度と共に増加の傾向にある。また、歪み係数の方が撓み係数より大きな値を示している。示方書にトラスドランガーハン橋の衝撃係数は記されていないので、普通のトラス橋に対する値を使用すれば、上弦材、補剛桁(下弦材)、支承における0.126、斜材、垂直材に対して0.152、横桁は0.363、縦桁は0.322となることより、主構では実測値の歪み係数の方が大きくなり、床組では逆に小さくなっている。歪みの固有振動周期の平均値は0.588secとなり撓みの場合と良く似ているが、わずかに大である。斜材の補強部の応力比ヒストグラムを示せば、図-11のようになり、平均75.9%で、斜材の他の部分の応力比より約10%小さくなっている。

6. 結 言

本橋は一般性状から判断すれば主構の各格点が剛結合に近い事がわかる。だが、剛結合とした場合とヒンジ結合とした場合では個々の部材で計算値が異なる場合もあるが、撓みではほとんど変化がない。

付 記 応力測定に關し、御協力いたされた徳島県ならびに三菱重工の各位に謝意を表する。

参考文献 1)トラスドランガーハン橋の主構と床組との協力作用について、鬼塚・成岡

土木学会第21回年次学術講演会講演概要